

Simulating the Effects of Climate Change on Phenology and Yield of Maize (*Zea mays* L.) and Possible Adaptation Strategies under the Climatic Conditions of Kermanshah

F. Mondani^{1*}, P. Karami², R. Ghobadi³

- 1- Associate Professor in Crop Ecology, Department of Plant Production and Genetics, Razi University, Kermanshah, Iran
2- MSc Student in Agroecology, Department of Plant Production and Genetics, Razi University, Kermanshah, Iran
3- PhD Graduate in Crop Physiology, Department of Plant Production and Genetics, Razi University, Kermanshah, Iran
(*- Corresponding Author Email: f.mondani@razi.ac.ir)

Received: 02 March 2023
Revised: 25 May 2023
Accepted: 31 May 2023

How to cite this article:

Mondani, F., Karami, P., & Ghobadi, R. (2024). Simulating the Effects of Climate Change on Phenology and Yield of Maize (*Zea mays* L.) and Possible Adaptation Strategies under the Climatic Conditions of Kermanshah. *Iranian Journal of Field Crops Research*, 21(4), 385-401. (in Persian with English abstract). <https://doi.org/10.22067/jcsc.2023.81417.1232>

Introduction

Global warming directly affects agricultural production and food security (Ainsworth & Ort, 2010). Temperature controls the rate of plant metabolic processes that ultimately affect biomass production and grain yield (Hay & Walker, 1981). Although farmers are not able to control the climatic conditions, management and changes in factors such as irrigation, soil, crop varieties, activities, and technologies used in the cultivation of crops can reduce the harmful effects of climate change (Moradi *et al.*, 2014). One of the reliable approaches to studying the effects of climate change on agricultural production is using crop growth models. The present study was conducted to simulate the effects of climate change on phenological stages and yield of maize and to investigate the possibility of mitigating the negative effects of climate change on maize by changing the sowing date and selecting suitable cultivars as management strategies for adaptation to climate change in Kermanshah region.


Materials and Methods

The study was conducted in Kermanshah region conditions. The evaluated traits included days from the sowing date to anthesis, days from the sowing date to physiological maturity, total dry weight, and grain yield. In general, the results of the evaluations showed that the CERES-Maize model can accurately predict the growth and yield of maize cultivars (SC704, Simon, BC678) in different soil moisture conditions. After ensuring acceptable agreement between simulated values with observed values, the evaluated model was used to study the effects of climate change on maize production in the near future (2021-2050) and the far future (2051-2080) climate change according to RCP4.5 and RCP8.5 scenarios and comparing them with baseline conditions (1981–2010). The average of 17 general circulation models was used to simulate meteorological parameters under climate change conditions. The common sowing date for maize in the Kermanshah region is May 5. In this study sowing dates of May 5 and April 26 as early sowing dates, April 15 as the common sowing dates, and May 25 and June 4 as the late sowing dates, and maize cultivars SC704, BC678, and Simon were considered as adaptation strategies to climate change.

Results and Discussion



©2024 The author(s). This is an open access article distributed under [Creative Commons Attribution 4.0 International License \(CC BY 4.0\)](https://creativecommons.org/licenses/by/4.0/), which permits use, sharing, adaptation, distribution and reproduction in any medium or format, as long as you give appropriate credit to the original author(s) and the source.

 <https://doi.org/10.22067/jcsc.2023.81417.1232>

The results of simulation showed that regardless of cultivar and sowing date, traits of days from sowing date to anthesis, days from sowing date to physiological maturity, total dry weight and grain yield in the near future climate change in the scenario RCP4.5 varied as -2, -1.5, 2.7, and 3.3% and in the RCP8.5 scenario varied as, -2.9, -2.8, -0.66, and -3.6% compared to baseline conditions, respectively. These values for the RCP4.5 scenario in the far future climate change condition were -5.2, -5.4, -7.1, and -16.2 and for the RCP8.5 scenario were -8.8, -9.8, -23.1, and -45.83%, respectively. In both near and far future climate changes and under both scenarios, by sowing the studied cultivars at late dates (May 15 and May 25) compared to the early dates (April 15 and April 25) and common date (May 5), the length of the developmental period was shorter but other traits such as total dry weight and grain yield were higher. Among the studied cultivars, in both future climate changes and scenarios, the Simon cultivar had the highest grain yield. The highest duration of developmental stages and total dry weight belonged to SC704.

Conclusion

In general, if any of the RCP4.5 and RCP8.5 scenarios occur in the near and far future climate change periods, the sowing of the Simon cultivar should be in late dates on May 25 and will have the highest grain yield. Therefore, it can suggest as a suitable strategy to reduce the negative effects of climate change on maize production in the Kermanshah region.

Keywords: Adaptation strategy, CERES-Maize model, Cultivar, Sowing date

شبیه‌سازی اثرات تغییر اقلیم بر مراحل فنولوژیک و عملکرد ذرت (*Zea mays L.*) و ارائه راهکارهای سازگاری تحت شرایط اقلیمی کرمانشاه

فرزاد مندنی^{۱*}، پریسا کرمی^۲، روزین قبادی^۳

تاریخ دریافت: ۱۴۰۱/۱۲/۱۱

تاریخ پذیرش: ۱۴۰۲/۰۳/۱۰

چکیده

پدیده گرمایش جهانی به‌طور مستقیم و غیرمستقیم بر میزان تولیدات کشاورزی و امنیت غذایی تأثیر می‌گذارد. بنابراین، این تحقیق به‌منظور شبیه‌سازی اثر تغییر اقلیم بر مراحل فنولوژیک و عملکرد ذرت در شرایط اقلیمی کرمانشاه و ارائه راهکارهای سازگاری به این تغییرات انجام شد. صفات مورد ارزیابی شامل تعداد روز از کاشت تا گلدهی و رسیدگی فیزیولوژیک، وزن خشک کل و عملکرد دانه بود. پس از کسب اطمینان از تطابق قابل قبول بین مقادیر شبیه‌سازی شده با مقادیر واقعی برای صفات مذکور، از مدل CERES-Maize برای مطالعه اثر تغییرات اقلیم بر تولید ذرت در دوره‌های آینده نزدیک (۲۰۵۰-۲۰۲۱) و دور (۲۰۸۰-۲۰۵۱) طبق سناریوهای RCP4.5 و RCP8.5 و مقایسه آن با شرایط مینا (۲۰۱۰-۱۹۸۱) استفاده شد. برای شبیه‌سازی پارامترهای هواشناسی در شرایط تغییر اقلیم از میانگین نتایج ۱۷ مدل گردش عمومی استفاده شد. تغییر تاریخ کاشت (۵ اردیبهشت، ۲۶ فروردین، ۱۵ اریه‌بهشت، ۲۵ اردیبهشت و ۴ خرداد) و رقم (SC704, Simon, BC678) به‌عنوان راهکارهای سازگاری در نظر گرفته شدند. نتایج شبیه‌سازی‌ها نشان داد صفات روز از کاشت تا گلدهی و رسیدگی فیزیولوژیک، وزن خشک کل و عملکرد دانه در شرایط تغییر اقلیم نزدیک در سناریوی RCP4.5 نسبت به شرایط مینا به‌ترتیب، ۵/۱-، ۴/۱-، ۲/۷ و ۳/۳ درصد و در سناریوی RCP8.5 به‌ترتیب، ۶/۲-، ۵/۴-، ۰/۶۶- و ۳/۶- درصد تغییر کرد. این مقادیر در شرایط تغییر اقلیم دور و سناریوی RCP4.5 به‌ترتیب، ۵/۲-، ۵/۴-، ۷/۱- و ۱۶/۲- درصد و برای سناریوی RCP8.5 به‌ترتیب، ۸/۸-، ۹/۸-، ۲۳/۱- و ۴۵/۸- درصد بودند. در هر دو دوره اقلیمی آینده و طبق هر دو سناریو با کاشت ارقام مورد بررسی در تاریخ‌های دیر هنگام در مقایسه با تاریخ‌های زود هنگام و رایج، طول مراحل نمویی کوتاه‌تر ولی وزن خشک کل و عملکرد دانه بیشتر بود. در بین ارقام مورد بررسی نیز در هر دو دوره اقلیمی آینده و هر دو سناریو، رقم Simon بیشترین عملکرد دانه را داشت. در مجموع با توجه به نتایج به‌دست‌آمده کاشت رقم Simon در تاریخ ۴ خرداد که در هر دو دوره اقلیمی آینده و هر دو سناریو مورد بررسی بیشترین عملکرد را داشت، می‌تواند به‌عنوان راهکاری برای مقابله با اثرات منفی تغییر اقلیم بر تولید ذرت منطقه کرمانشاه پیشنهاد گردد.

واژه‌های کلیدی: تاریخ کاشت، راهکار سازگاری، رقم، مدل CERES-Maize

مقدمه

گرمایش جهانی به‌طور مستقیم روی تولیدات کشاورزی و امنیت غذایی تأثیر می‌گذارد (Ainsworth & Ort, 2010). دما سرعت

فرآیندهای متابولیکی گیاه را که در نهایت بر تولید بیوماس و عملکرد دانه تأثیر می‌گذارند، کنترل می‌کند (Hay & Walker, 1989). دماهای بالا همچنین ریسک خشکی، محدودیت سرعت فتوسنتز و کاهش تشعشع جذبی را از طریق افزایش سرعت نمو، افزایش می‌دهند (Tubiello, Soussana, & Howden, 2007). تنش گرمای ناشی از تغییر اقلیم در آینده به احتمال زیاد به محدودیت‌هایی برای تولید ذرت (*Zea mays L.*) تبدیل می‌شود (Cairns et al., 2013). لابل و بارکی (Lobell & Burke, 2010) نشان دادند که افزایش دو درجه سانتی‌گراد به میانگین دمای طول دوره رشد، تأثیر بیشتری در کاهش عملکرد ذرت در مقایسه با ۲۰ درصد کاهش بارندگی دارد. در مطالعه‌ای دیگر در تانزانیا نشان داده شد که افزایش

- ۱- دانشیار اکولوژی گیاهان زراعی، گروه مهندسی تولید و ژنتیک گیاهی، دانشگاه رازی، کرمانشاه، ایران
 - ۲- دانشجوی کارشناسی ارشد آگرواکولوژی، گروه مهندسی تولید و ژنتیک گیاهی، دانشگاه رازی، کرمانشاه، ایران
 - ۳- دانش‌آموخته دکترای فیزیولوژی گیاهان زراعی، گروه مهندسی تولید و ژنتیک گیاهی، دانشگاه رازی، کرمانشاه، ایران
- (*) نویسنده مسئول:
Email: f.mondani@razi.ac.ir
<https://doi.org/10.22067/jcesc.2023.81417.1232>

گلهی ذرت خواهد داشت و با کاهش درصد و دوره تلقیح گل منجر به کاهش عملکرد ذرت می‌شود.

اگرچه کشاورزان قادر نیستند شرایط اقلیمی را کنترل کنند، ولی مدیریت و تغییر در فاکتورهایی چون آبیاری، خاک، رقم، فعالیت‌ها و تکنولوژی‌های مورد استفاده در کشت محصولات زراعی می‌تواند در کاهش اثرات مضر تغییر اقلیم بر رشد، نمو و عملکرد محصولات کشاورزی نقش به‌سزایی داشته باشد (Moradi *et al.*, 2014). تخفیف^۱ و سازگاری^۲ دو روش شناخته‌شده برای کاهش اثرات منفی تغییر اقلیم است (Ozkan & Akcaoz, 2002). سازگاری استراتژی‌های است که در آن‌ها رشد و نمو گیاه به گونه‌ای می‌گردد که کمتر در معرض تغییرات اقلیمی به‌وقوع پیوسته قرار گیرد (Rosenzweig & Tubiello, 2007). راهکارهای سازگاری بسته به سیستم کشاورزی منطقه و سناریوهای تغییر اقلیمی متفاوت است. از جمله این استراتژی‌ها می‌توان به تغییر تاریخ کاشت، تراکم کاشت، استفاده از ارقام مقاوم به شرایط گرم‌تر، تغییر در تناوب کاشت و مدیریت آبیاری اشاره کرد (Smit & Skinner, 2002; Tubiello, Jagtap, Rosenzweig, Goldberg, & Jones, 2002).

با توجه به اهمیت تولید ذرت، تغییرات اقلیمی می‌تواند اثرات منفی خود را در زمینه کاهش عملکرد در منطقه مورد بررسی و در سطح کشور نشان دهد. بنابراین برای مقابله با کاهش عملکرد حاصل از تغییرات اقلیمی آینده اصلاح و تغییر مدیریت زراعی در قالب راهکارهای سازگاری ضروری می‌باشد. با استفاده از مدل‌های شبیه‌سازی رشد گیاهان زراعی می‌توان از طریق گزینه‌هایی مانند تنظیم تاریخ کاشت، تغییر الگوی کشت و کشت ارقام مقاوم به گرما، اثرات منفی تغییر اقلیم بر تولیدات کشاورزی را کاهش داد (Tingem & Rivington, 2009). الکساندرو و هوگنبوم (Alexandrov & Hoogenboom, 2000) در مطالعه‌ای اثر تغییر اقلیم را بر عملکرد گندم (*Triticum aestivum*) و ذرت در بلغارستان ارزیابی کردند و نشان دادند که اقدامات سازگاری برای کاهش تأثیر بالقوه تغییر اقلیم بر تولید ذرت در بلغارستان شامل تغییرات احتمالی در تاریخ کاشت و انتخاب هیبرید است. عدم هم‌زمانی دوره حساس گلهی با دماهای بالا می‌تواند به کاهش اثرات سوء تنش گرما به‌ویژه در شرایط تغییر اقلیم کمک کند (Rahimi-Moghaddam *et al.*, 2018). تحقیقات دیگر نیز نشان دادند که تغییر روش‌های مدیریتی مانند استفاده از تاریخ کاشت‌های زود هنگام، می‌تواند برای فرار از تنش گرما و کاهش ریسک به‌ویژه در شرایط تغییر اقلیم در نظر گرفته شود (Zheng, Chenu, Dreccer, & Chapman, 2012; Liu, Hubbard, Lin, & Yang, 2013). در تحقیقی دیگر وانگ و همکاران (Wang, Rui, Shen, & Zhang, 2008) نشان دادند که

دما نسبت به تغییرات درون فصلی بارندگی اثرات فراوانی بر کاهش عملکرد ذرت دارد، به طوری که افزایش میانگین دمای طول دوره رشد به میزان دو درجه سانتی‌گراد عملکرد ذرت را ۱۳ درصد کاهش داد، در صورتی که با ۲۰ درصد افزایش تغییرات درون فصلی بارندگی، عملکرد ذرت فقط ۴/۲ درصد کاهش یافت (Rowhani, Lobell, Linderman, & Ramankutty, 2011).

تنش گرما در ذرت از طریق کوتاه کردن چرخه زندگی گیاه (Muchow, Sinclair, & Bennett, 1990) کاهش فتوسنتز (Crafts-Brander & Salvucci, 2002) و عقیمی دانه‌گرده (Schoper, Lambert, & Vasilas, 1987) منجر به کاهش عملکرد می‌گردد. آسیب تنش گرما زمانی که در مراحل حساس نمو گیاه به‌ویژه مرحله زایشی رخ می‌دهد بسیار شدید است (Teixeira, Fischer, Velthuizen, Walter, & Ewert, 2013). مطالعات بسیاری نشان می‌دهد که افزایش دما در طول دوره گلهی ذرت از طریق کاهش باروری و زنده ماندن دانه‌های گرده، عملکرد دانه این گیاه را کاهش می‌دهد (Hatfield & Prueger, 2015). بنابراین عدم هم‌زمانی دوره حساس گلهی با دماهای بالا می‌تواند به کاهش اثرات سوء تنش گرما کمک شایانی کند (Rahimi-Moghaddam, Kambouzia, & Deihimfard, 2018).

با توجه به روند تغییرات اقلیمی اخیر و گرم شدن هوا به نظر می‌رسد که کشت و کار ذرت به‌عنوان یک گونه با مسیر فتوسنتزی چهار کرینه اهمیت بیشتری پیدا کند. حساس‌ترین مرحله رشد ذرت به دمای بالا مرحله گلهی آن است که افزایش دما طول این دوره را کاهش می‌دهد (Khabba, Ledent, & Lahrouni, 2001) و به دلیل کوتاه شدن دوره گلهی و از طرفی طول فصل رشد ذرت تحت تأثیر تغییرات اقلیمی و گرمایش زمین ممکن است عملکرد دانه ذرت در این شرایط کاهش یابد (Trnka, Dubrovsky, & Ekzalud, 2004). الکساندرو و هوگنبوم (Alexandrov & Hoogenboom, 2000) اثر تغییرات اقلیمی را بر عملکرد ذرت برای دوره‌های ۲۰۲۰، ۲۰۵۰ و ۲۰۸۰ شبیه‌سازی کردند و گزارش کردند که کاهش عملکرد در دوره ۲۰۸۰ نسبت به دو دوره دیگر کمتر بود و حداکثر عملکرد شبیه‌سازی‌شده در سه دوره به‌ترتیب، ۷، ۶/۲ و ۵/۳ تن در هکتار بود. لی و همکاران (Li, Takahashi, Suzuki, & Kaiser, 2011) با بررسی تغییرات اقلیمی بر عملکرد ذرت گزارش کردند که تغییرات اقلیمی تا سال ۲۰۳۰ منجر به کاهش عملکرد در آمریکا و چین به‌ترتیب در حدود ۸ و ۲۳ درصد خواهد شد. همچنین سوتوورد و همکاران (Southworth *et al.*, 2000) بیان کردند که افزایش درجه حرارت در مناطق میانی آمریکا منجر به تغییر عملکرد ذرت در این منطقه بین ۵- تا ۵۰- درصد تا ۵۰ سال آینده خواهد شد. مرادی و همکاران (Moradi, Koocheki, & Nassiri Mahallati, 2014) تأیید کردند که تغییرات اقلیمی در ایران بیشترین تأثیر را در مرحله

1- Mitigation

2- Adaptation

MR، MIROC-ESM، MIROC-ESM-CHEM، MIROC5، NorESM1-M، MRI-CGCM3) به‌عنوان اطلاعات هواشناسی دوره‌های آینده نزدیک (۲۰۲۱-۲۰۵۰) و دور (۲۰۸۰-۲۰۵۱) در سه تکرار برای سناریوهای تغییر اقلیمی مدنظر (RCP4.5 و RCP8.5) از سایت مارکسیم استخراج شد (MarkSim, 2018). بر این اساس برای هر یک از دوره‌های اقلیمی مدنظر ۹۰ سال داده هواشناسی از سایت مذکور استخراج گردید و به‌عنوان ورودی مدل در فایل هواشناسی قرار داده شد تا نوسانات احتمالی در داده‌های هواشناسی به حداقل ممکن کاهش یابد. غلظت دی‌اکسید کربن برای شرایط منا ۳۸۰ پی‌پی‌ام در نظر گرفته شد. این غلظت طبق سناریو RCP4.5 و RCP8.5 برای آینده نزدیک به ترتیب، ۴۷۰ و ۵۳۰ پی‌پی‌ام و برای آینده دور به ترتیب، ۵۶۰ و ۷۷۰ پی‌پی‌ام در نظر گرفته شد (RCP, 2014). لازم به ذکر است که غلظت‌های نام برده میانگینی از غلظت‌های سالیانه هر یک از دوره‌های تغییر اقلیم نزدیک و دور می‌باشد. برای ساخت فایل خاک‌شناسی از ابزار SBUILD استفاده می‌شود. اطلاعات استفاده شده برای ساخت فایل خاک‌شناسی در جدول ۱ نشان داده شده است.

مدل CERES-Maize قبلاً برای ارقام SC704، Simon و BC678 در منطقه مورد مطالعه واسنجی (Mondani, 2018) و اعتبارسنجی (Mondani, Karami, & Ghobadi, 2021) شده است که نتایج در هر دو مرحله واسنجی و اعتبارسنجی حاکی از دقت قابل قبول مدل در پیش‌بینی رشد و نمو ذرت بود. لذا شبیه‌سازی صفات تعداد روز از کاشت تا گلدهی و رسیدگی فیزیولوژیک، وزن خشک کل و عملکرد دانه در دوره‌های آینده نزدیک (۲۰۲۱-۲۰۵۰) و دور (۲۰۸۰-۲۰۵۱) طبق سناریوهای RCP4.5 و RCP8.5 توسط مدل CERES-Maize انجام و تغییرات آن‌ها در شرایط تغییر اقلیم نسبت به شرایط منا (۲۰۱۰-۱۹۸۱) محاسبه و تحلیل شد.

راهکارهای سازگاری به شرایط تغییر اقلیم

به‌منظور امکان تعدیل اثرات منفی تغییر اقلیم بر تولید ذرت در منطقه مورد مطالعه، تغییر تاریخ کاشت و رقم به‌عنوان راهکارهای سازگاری در نظر گرفته شدند. تاریخ رایج برای کاشت ذرت در منطقه کرمانشاه ۱۵ اردیبهشت می‌باشد. از آنجایی که حساس‌ترین مرحله رشد ذرت به گرما، مرحله گلدهی آن است و افزایش دما طول این دوره را کاهش می‌دهد، بنابراین هر نوع تغییر در تاریخ برخورد این مرحله با دماهای بالا می‌تواند به شدت در کاهش اثرات منفی تغییر اقلیم بر تولید گیاه موثر باشد (Khabba et al., 2001). در این مطالعه برای ارائه راهکارهای سازگاری ذرت به شرایط اقلیمی آینده، تاریخ کاشت‌های ۵ اردیبهشت و ۲۶ فروردین به‌عنوان کشت زود هنگام، ۱۵ اردیبهشت به‌عنوان کشت به‌هنگام و ۲۵ اردیبهشت و ۴

تاریخ کاشت‌های زود هنگام باعث کاهش اثرات منفی حاصل از افزایش دما بر عملکرد گیاه زراعی می‌شود. بنابراین با توجه به سطح زیر کشت قابل توجه ذرت در استان کرمانشاه این مطالعه با هدف شبیه‌سازی اثرات تغییر اقلیم بر رشد و نمو ذرت و همچنین ارائه راهکارهای سازگاری به این تغییرات به‌منظور کاهش اثرات منفی تغییر اقلیم، تحت شرایط اقلیم پایه منطقه کرمانشاه انجام شد.

مواد و روش‌ها

منطقه مورد مطالعه

منطقه مورد مطالعه در این تحقیق شهرستان کرمانشاه است که در عرض جغرافیایی ۳۴ درجه و ۱۹ دقیقه شمالی، طول جغرافیایی ۴۷ درجه و ۶ دقیقه شرقی و ارتفاع ۱۳۱۹ متر از سطح دریا واقع شده است. براساس تقسیم‌بندی اقلیمی دومارتن اقلیم منطقه سرد و نیمه‌خشک است. منطقه مورد نظر دارای متوسط بارندگی سالیانه ۴۴۴/۷ میلی‌متر، متوسط درجه حرارت سالیانه ۱۴/۳ درجه سانتی‌گراد و حداکثر و حداقل درجه حرارت مطلق سالیانه به ترتیب ۴۴/۱ و ۲۷- درجه سانتی‌گراد است.

شبیه‌سازی اثرات تغییر اقلیم

به‌منظور شبیه‌سازی ویژگی‌های مورد ارزیابی گیاه ذرت از مدل CERES-Maize موجود در بسته نرم‌افزاری DSSAT v4.6 استفاده شد (Hoogenboom et al., 2015). برای شبیه‌سازی توسط مدل CERES-Maize ابتدا لازم است که داده‌های مورد نیاز در قالب فایل‌های خاصی سازمان دهی و به‌عنوان ورودی‌ها به مدل معرفی شوند. اطلاعات مدیریت زراعی توسط ابزار XBUILD به مدل ارائه می‌شود که شامل تاریخ کاشت، روش کاشت، عمق کاشت، فاصله ردیف‌های کاشت، تراکم بوته در واحد سطح، تاریخ، نوع، مقدار و روش کاربرد کود، روش آبیاری، راندمان آبیاری، تاریخ آبیاری و مقدار آب مصرفی در هر مرحله از آبیاری هستند که از مزرعه تحقیقاتی پردیس کشاورزی و منابع طبیعی دانشگاه رازی جمع‌آوری و در پنجره‌های مربوطه وارد شدند.

اطلاعات هواشناسی توسط ابزار WeatherMan برای مدل تعریف می‌شود. اطلاعات روزانه هواشناسی مورد نیاز (حداکثر و حداقل درجه حرارت، مقدار بارش و تشعشع روزانه) شهرستان کرمانشاه برای دوره منا (۲۰۱۰-۱۹۸۱) از سازمان هواشناسی استان کرمانشاه اخذ شد. خروجی ۱۷ مدل گردش عمومی (BCC-CM1-1، BCC-CM1-1-M، GFDL-CM3، FIO-ESM، CSIRO-Mk3-6-0، CSM1-1-M، GISS-E2-H، GFDL-ESM2M، GFDL-ESM2G، IPSL-CM5A-LR، HadGEM2-ES، E2-R، IPSL-CM5A-)

به‌عنوان اطلاعات مورد ارزیابی برای هر یک از دوره‌های اقلیمی استخراج گردید. در پایان پس از استخراج اطلاعات مدنظر برای هر یک از دوره‌های اقلیمی، از طریق مقایسه این اطلاعات با خروجی مدل برای دوره مینا (۲۰۱۰-۱۹۸۱)، بهترین راهکار سازگاری برای کاهش اثرات منفی تغییر اقلیم بر رشد و تولید ذرت در منطقه کرمانشاه معرفی گردید.

خرداد به‌عنوان کشت دیر هنگام و ارقام ذرت Simon، BC678، SC704 در نظر گرفته شدند. با توجه به شرایط در نظر گرفته شده به‌عنوان راهکارهای سازگاری، برای هر یک از دوره‌های اقلیمی نزدیک (۲۰۲۱-۲۰۵۰) و دور (۲۰۸۰-۲۰۵۱) مدل CERES-Maize ۱۳۵۰ مرتبه (۵ تاریخ کاشت \times ۳ رقم \times ۹۰ ورودی هواشناسی) اجرا گردید و سپس میانگین خروجی‌های مدل برای شرایط نام‌برده

جدول ۱- ویژگی‌های فیزیکی و شیمیایی خاک محل آزمایش

Table 1- Physical and chemical properties of the experiment soil

ویژگی‌های خاک Soil traits	عمق Depth (0-30 cm)	عمق Depth (30-60 cm)
بافت Texture	Clay-Silt	Clay-Silt
رس Clay (%)	24.00	27.20
سیلت Silt (%)	39.00	38.70
شن Sand (%)	37.00	34.10
pH	7.55	7.60
ظرفیت تبادل کاتیونی (meq.100g) Cation exchange capacity	18.50	-
املاح محلول (dS.cm ⁻²) Soluble salts	0.60	-
کربن آلی (%) Organic carbon	1.17	1.12
نیتروژن کل (%) Total N	0.17	0.11
فسفر قابل جذب (ppm) Absorbable P	5.20	-
پتاسیم قابل جذب (ppm) Absorbable K	340.00	-
آب خاک در نقطه پژمردگی دائم (%) Soil ware in wilting point	20.50	22.50
آب خاک در حد ظرفیت زراعی (%) Soil ware in field capacity	32.50	35.50
محتوای آب خاک در نقطه اشباع (%) Soil ware in saturation point	49.00	49.50
هدایت هیدرولیکی اشباع (cm hr ⁻¹) Saturated hydraulic conductivity	0.41	0.29
وزن مخصوص ظاهری (g cm ⁻³) Bulk density	1.42	1.45

نتایج و بحث

روز از کاشت تا گلدهی

نزدیک (۲۰۲۰ تا ۲۰۵۰) شدیدتر پیش‌بینی شد (شکل ۱). طبق پیش‌بینی‌های مدل CERES-Maize صرف‌نظر از ارقام مورد بررسی، با تغییر تاریخ کاشت طول دوره نموی روز از کاشت تا گلدهی، تحت تاثیر هر دو سناریوی تغییر اقلیم قرار گرفت (شکل ۱). در دوره اقلیمی نزدیک (۲۰۲۱-۲۰۵۰)، طولانی‌ترین طول دوره نموی روز از کاشت تا گلدهی ارقام Simon، SC704 و BC678 در هر دو سناریوی مربوط به زودترین تاریخ کاشت (۲۶ فروردین) بود که به ترتیب ۸۹/۵، ۸۵/۲ و ۸۵/۲ روز برای سناریوی RCP4.5 و ۸۸/۵، ۸۴/۴ و ۸۴/۴ روز برای سناریوی RCP8.5 پیش‌بینی شد. کوتاه‌ترین طول دوره نموی روز از کاشت تا گلدهی در ارقام مذکور نیز به ترتیب ۷۲/۹، ۶۵/۵ و ۶۵/۵ روز برای سناریو RCP4.5 و ۷۲/۲، ۶۵/۵ و ۶۵/۵ (خرداد) شبیه‌سازی شد (شکل ۱).

در شرایط مینا طول دوره نموی روز از کاشت تا گلدهی ارقام Simon، SC704 و BC678 به ترتیب ۸۰، ۷۶ و ۷۶ روز بود (جدول ۲) که صرف‌نظر از تاریخ کاشت، در شرایط تغییر اقلیم دوره آینده نزدیک (۲۰۲۱-۲۰۵۰) طبق سناریوی RCP4.5، به ترتیب با ۴/۸۱، ۵/۲۸ و ۵/۲۸ درصد کاهش به ۷۶/۲ و ۷۲ روز رسید (شکل ۱). کاهش طول دوره نموی روز از کاشت تا گلدهی در سناریوی RCP8.5 نسبت به RCP4.5 شدیدتر بود، به طوری که این مرحله نموی در ارقام مورد بررسی به ترتیب با ۵/۶۷، ۶/۴۰ و ۶/۴۰ درصد کاهش نسبت به شرایط مینا به ۷۵/۵، ۷۱/۱ و ۷۱/۱ روز خواهد رسید. همچنین میزان کاهش طول دوره نموی روز از کاشت تا گلدهی در دوره تغییر اقلیم دور (۲۰۸۰ تا ۲۰۵۱) در مقایسه با دوره تغییر اقلیم

جدول ۲- مراحل نمو فنولوژیک و عملکرد ارقام ذرت در دوره مینا (۲۰۱۰-۱۹۸۱) و تاریخ کاشت مرسوم (۱۵ اردیبهشت)

Table 2- Phenological development stages and yield of maize cultivars in the baseline period (1981-2010) and common sowing date (May 5)

	SC704	Simon	BC678
روز از کاشت تا گلدهی Days from sowing to anthesis	80	76	76
روز از کاشت تا رسیدگی فیزیولوژیک Days from sowing to physiological maturity	130	128	128
وزن خشک کل (کیلوگرم در هکتار) Total dry weight (kg ha ⁻¹)	22817	22604	20478
عملکرد دانه (کیلوگرم در هکتار) Grain yield (kg ha ⁻¹)	9842	10266	8141

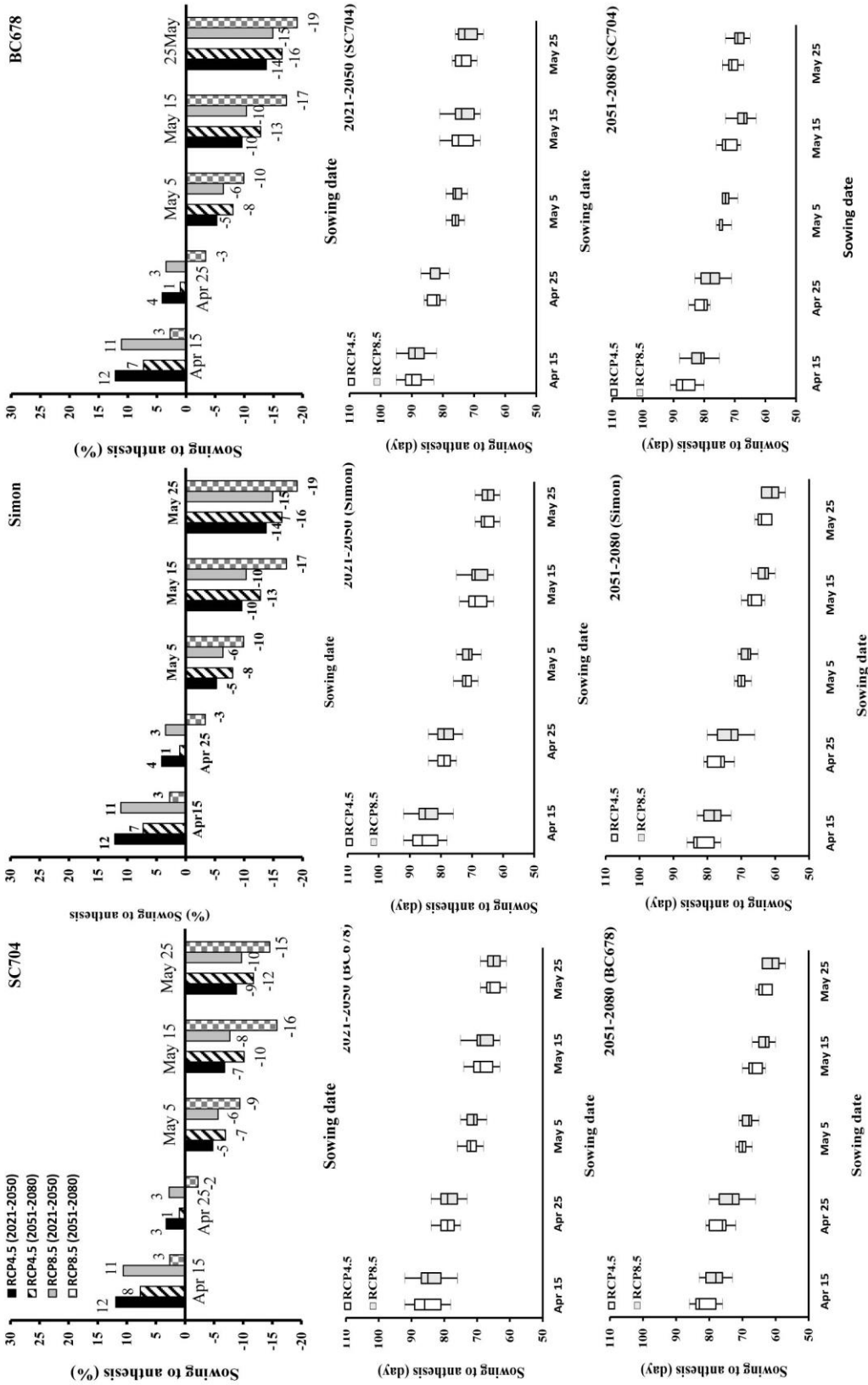
دیرهنگام شد (شکل ۱). مزا و همکاران (Meza, Silva, & Vigil, 2008) گزارش کردند که افزایش دما در محدوده ۱۰ تا ۳۵ درجه سانتی‌گراد باعث تسریع مراحل فنولوژیک ذرت می‌شود اما در دمای بالاتر از ۴۰ درجه سانتی‌گراد سرعت نمو کاهش یافته و باعث اختلال در رشد ذرت می‌شود. نتایج شبیه‌سازی شیری (Shiri, 2018) نشان داد که تعداد روز از کاشت تا گلدهی ذرت در منطقه مغان تحت تأثیر تغییرات اقلیمی پیش‌رو نسبت به شرایط مینا (۲۰۱۴-۱۹۸۵) در هر دو سناریو (A1B و A2) کاهش یافت، به طوری که در سال ۲۰۸۵، طبق سناریو A2 با ۴۶ روز کمترین تعداد روز تا گلدهی پیش‌بینی شد. بولینگ و همکاران (Bowling et al., 2018) نشان دادند که افزایش دما از طریق افزایش تنفس موفقیت و زمان گرده‌افشانی ذرت را تحت تأثیر قرار داد.

روز از کاشت تا رسیدگی فیزیولوژیک

بر اساس پیش‌بینی‌های مدل CERES-Maize طول دوره نمو روز از کاشت تا رسیدگی فیزیولوژیک برای ارقام SC704، Simon و BC678 در شرایط مینا (۲۰۱۰-۱۹۸۱) به ترتیب ۱۳۰، ۱۲۸ و ۱۲۸ روز بود (جدول ۲) که در شرایط تغییر اقلیم دوره آینده نزدیک (۲۰۲۱-۲۰۵۰) طبق سناریوی RCP4.5 با ۴/۰، ۴/۲ و ۴/۲ درصد کاهش به ترتیب به حدود ۱۲۴/۸، ۱۲۲/۶ و ۱۲۲/۶ روز خواهد رسید (شکل ۲). دوره نمو روز از کاشت تا رسیدگی فیزیولوژیک در شرایط سناریوی RCP8.5 در مقایسه با RCP4.5 کاهش بیشتری از خود نشان داد، به طوری که در ارقام SC704، Simon و BC678 به ترتیب ۵/۲۰، ۵/۴۹ و ۵/۴۹ درصد کاهش نسبت به شرایط مینا اتفاق افتاد. همچنین میزان کاهش طول دوره نمو روز از کاشت تا رسیدگی فیزیولوژیک در دوره تغییر اقلیم دور (۲۰۵۱ تا ۲۰۸۰) در مقایسه با دوره تغییر اقلیم نزدیک (۲۰۲۰ تا ۲۰۵۰) شدیدتر پیش‌بینی شد (شکل ۲).

در دوره تغییر اقلیم آینده دور (۲۰۸۰-۲۰۵۱) نیز صرف‌نظر از تاریخ کاشت، طول دوره نمو روز از کاشت تا گلدهی ارقام SC704، Simon و BC678 در سناریو RCP4.5 به ترتیب ۶/۹۶، ۸/۰۴ و ۸/۰۴ درصد و در سناریو RCP8.5 به ترتیب ۹/۴۳، ۹/۹۱ و ۹/۹۱ درصد نسبت به شرایط مینا کاهش می‌یابد. در هر دو سناریو طولانی‌ترین طول دوره نمو روز از کاشت تا گلدهی برای تاریخ کاشت ۲۶ فروردین و کوتاه‌ترین آن برای تاریخ کاشت ۴ خرداد شبیه‌سازی شد (شکل ۱). به‌طور کلی نتایج شبیه‌سازی‌های مدل CERES-Maize نشان داد که در شرایط تغییر اقلیم با تغییر تاریخ کاشت طول دوره نمو روز از کاشت تا گلدهی نیز تغییر خواهد کرد، به طوری که طول این دوره نمو در هر سه رقم در تاریخ‌های کاشت زودهنگام (۲۶ فروردین و ۵ اردیبهشت) نسبت به شرایط مینا افزایش خواهد یافت اما در تاریخ کاشت رایج (۱۵ اردیبهشت) و تاریخ‌های کاشت دیرهنگام (۲۵ اردیبهشت و ۴ خرداد) کاهش خواهد یافت. طبق شرایط سناریوی RCP4.5 بیشترین کاهش طول دوره نمو روز از کاشت تا گلدهی مربوط به ارقام Simon و BC678 در تاریخ کاشت ۴ خرداد به میزان ۱۴ درصد برای دوره تغییر اقلیم نزدیک و به میزان ۱۶ درصد برای دوره تغییر اقلیم دور پیش‌بینی شد (شکل ۱). میزان کاهش طول دوره نمو روز از کاشت تا گلدهی برای ارقام Simon و BC678 در تاریخ کاشت ۴ خرداد بر اساس سناریوی RCP8.5 شدیدتر بود. همچنین در تاریخ کاشت رایج و دیرهنگام و سناریوهای مورد بررسی طول دوره نمو روز از کاشت تا گلدهی رقم SC704 کاهش کمتری در دوره‌های تغییر اقلیمی نشان داد.

به نظر می‌رسد که افزایش درجه حرارت ناشی از شرایط تغییر اقلیم پیش‌رو در طول دوره رشد ارقام مورد بررسی منجر به تامین زودتر نیاز حرارتی مورد نیاز برای طی شدن مراحل نمو فنولوژیک و در نتیجه افزایش سرعت نمو خواهد شد، که این موضوع باعث کاهش طول دوره نمو روز از کاشت تا گلدهی در تاریخ کاشت رایج و



شکل ۱- تغییرات تعداد روز از کاشت تا گرده‌افشانی در تاریخ‌های مختلف کاشت برای شرایط تغییر اقلیم نسبت به دوره مینا (ردیف اول)، نمودار جمع‌بندی تعداد روز از کاشت تا گرده‌افشانی در تاریخ‌های مختلف کاشت (ردیف دوم و سوم). خط افقی وسط هر جعبه میانه (چارک دوم)، مستطیل‌های پایین و بالا به ترتیب چارک‌های اول و سوم، خطوط افقی پایین و بالا در خارج هر جعبه به ترتیب حداقل و حداکثر داده‌ها را نشان می‌دهند.

Figure 1- Changes in number of day from sowing to anthesis in different sowing dates for climate change conditions compared to baseline (first row), box plot for number of day from sowing to anthesis in different sowing dates (second and third quartile). The horizontal line in the middle of each box is median (second quartile), the lower and upper rectangles indicate first and third quartiles, respectively, and the lower and upper horizontal lines outside each box represent minimum and maximum data, respectively.

این امر افزایش میانگین دما در تاریخ‌های کاشت دیر هنگام باشد. در مطالعه‌ای دیگر در کشور سریلانکا، طول دوره رشد برنج (*Oryza sativa*) در شرایط تغییر اقلیم آینده (۲۰۴۰، ۲۰۵۰ و ۲۰۶۰) طبق سناریو RCP8.5 از ۱۰۹ روز به ۱۰۷ روز کاهش پیدا کرد (Navaratne, Weerasinghe, & Hettiarachchi, 2016). نتایج آن‌ها همچنین نشان داد که افزایش دما منجر به بلوغ فیزیولوژیکی سریع گیاه می‌شود. در بررسی‌ای که در کشور آمریکا انجام شده بود، مشخص گردید که طول دوره نمو روز از کاشت تا رسیدگی فیزیولوژیک ذرت در شرایط تغییر اقلیم آینده (۲۰۴۰-۲۰۶۹) طبق سناریوهای RCP4.5 و RCP8.5 به ترتیب ۹ و ۱۸ درصد نسبت به شرایط مبنا (۲۰۱۰-۱۹۸۱) کاهش یافت (Araya et al., 2017).

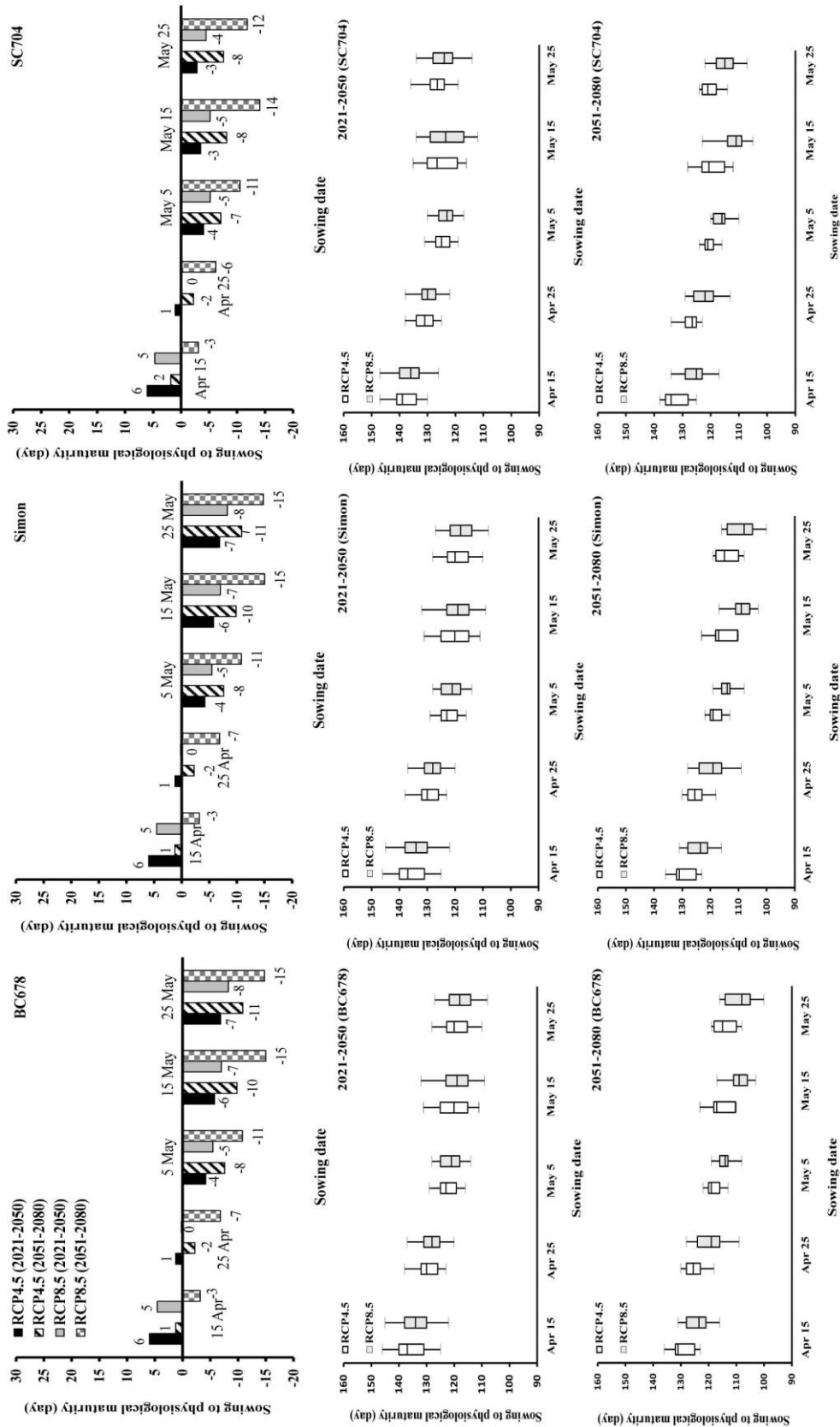
وزن خشک کل

وزن خشک کل ذرت در شرایط اقلیمی آینده نسبت به شرایط مبنا کاهش پیدا خواهد کرد. در شرایط مبنا (۲۰۱۰-۱۹۸۱) وزن خشک کل برای ارقام Simon, SC704 و BC678 به ترتیب ۲۲۸۱۷، ۲۲۶۰۴ و ۲۰۴۷۸ کیلوگرم در هکتار بود (جدول ۲). وزن خشک کل ارقام مذکور در شرایط تغییر اقلیم دوره آینده نزدیک (۲۰۲۱-۲۰۵۰)، طبق سناریو RCP4.5 به ترتیب با ۱/۸۸، ۱/۸۹ و ۱/۹۰ درصد کاهش به ۲۲۳۸۷، ۲۲۱۷۸ و ۲۰۰۹۰ کیلوگرم در هکتار و طبق سناریو RCP8.5 به ترتیب با ۵/۶۲، ۶/۰۰ و ۵/۷۶ درصد کاهش به ۲۱۵۳۶، ۲۱۲۲۸ و ۱۹۲۹۹ کیلوگرم در هکتار خواهد رسید (شکل ۳). نتایج پیش‌بینی‌های مدل CERES-Maize نشان داد که با تأخیر در کاشت وزن خشک کل ذرت افزایش خواهد یافت، به طوری که در هر دو سناریو کمترین وزن خشک کل برای ارقام Simon, SC704 و BC678 در تاریخ کاشت ۵ اردیبهشت به دست آمد (به ترتیب ۲۲۸۳۰، ۲۲۶۸۱ و ۲۰۵۶۸ کیلوگرم در هکتار در سناریو RCP4.5 و ۲۱۹۸۲، ۲۱۸۸۶ و ۱۹۹۲۳ کیلوگرم در هکتار در سناریو RCP8.5). بیشترین مقدار وزن خشک کل برای ارقام مذکور در دیرترین تاریخ کاشت (۴ خرداد) شبیه‌سازی شد (به ترتیب ۲۴۶۵۳ و ۲۲۲۳۸ کیلوگرم در هکتار در سناریو RCP4.5 و ۲۱۸۸۶ و ۱۹۹۲۳ کیلوگرم در هکتار در سناریو RCP8.5).

وزن خشک کل در دوره آینده دور (۲۰۸۰-۲۰۵۱) نیز نسبت به شرایط مبنا کاهش پیدا خواهد کرد، به طوری که میزان وزن خشک کل ارقام Simon, SC704 و BC678 نسبت به شرایط مبنا در سناریو RCP4.5 به ترتیب ۹/۷۱، ۱۱/۲۰ و ۱۰/۳۶ درصد و در سناریو RCP8.5 به ترتیب ۲۷/۹۶، ۲۷/۴۲ و ۲۵ درصد کاهش می‌یابد (شکل ۳).

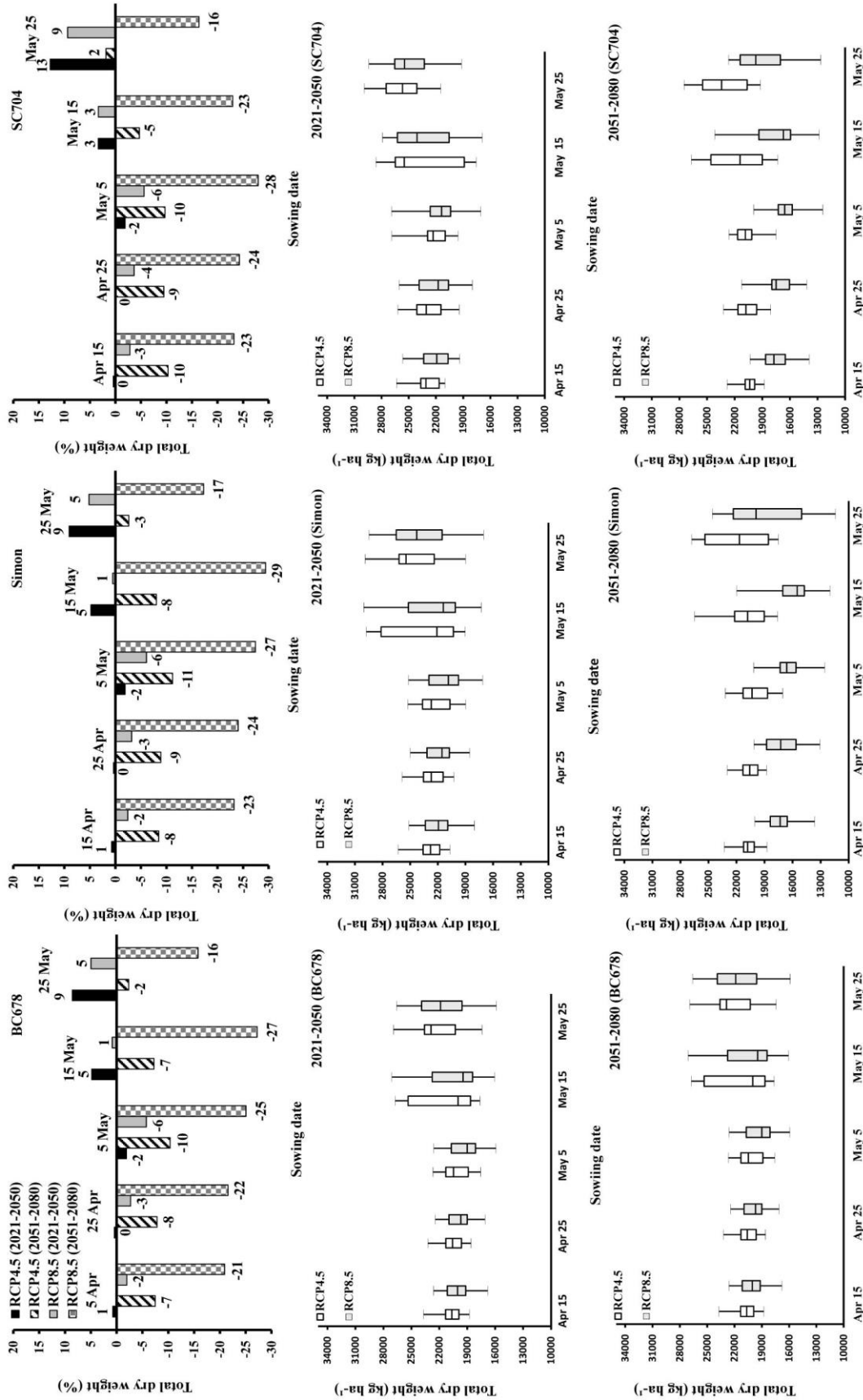
نتایج این بررسی همچنین نشان داد که با تغییر تاریخ کاشت طول دوره نمو روز از کاشت تا رسیدگی فیزیولوژیک، صرف‌نظر از ارقام مورد بررسی، تحت تأثیر هر دو سناریو تغییر اقلیم قرار گرفت. طولانی‌ترین طول دوره نمو روز از کاشت تا رسیدگی فیزیولوژیک ارقام Simon, SC704 و BC678 در هر دو سناریو مربوط به زودترین تاریخ کاشت و کوتاه‌ترین آن مربوط به دیرترین تاریخ کاشت بود. طبق پیش‌بینی‌های مدل CERES-Maize در دوره اقلیمی نزدیک، رقم SC704 در تاریخ کاشت ۲۶ فروردین تحت سناریوی مورد بررسی دارای بیشترین طول دوره نمو روز از کاشت تا رسیدگی فیزیولوژیک بود و کمترین آن برای ارقام Simon و BC678 مشاهده شد (شکل ۲).

مشابه با دوره آینده نزدیک در دوره آینده دور نیز (۲۰۸۰-۲۰۵۱) طول دوره نمو روز از کاشت تا رسیدگی فیزیولوژیک ذرت تحت تغییرات آب و هوایی قرار خواهد گرفت، اما شدت این تأثیرات در آینده دور بیشتر از آینده نزدیک خواهد بود. طول دوره نمو روز از کاشت تا رسیدگی فیزیولوژیک ارقام Simon, SC704 و BC678 در سناریوی RCP4.5 به ترتیب ۷، ۷/۶۰ و ۷/۶۰ درصد و در سناریوی RCP8.5 به ترتیب ۱۰/۵۰، ۱۰/۸۱ و ۱۰/۸۱ درصد نسبت به شرایط مبنا کاهش می‌یابد (شکل ۲). در سناریوی RCP4.5 بیشترین طول دوره نمو روز از کاشت تا رسیدگی فیزیولوژیک در رقم SC704 در تاریخ کاشت ۲۶ فروردین به میزان ۱۳۲/۴ روز و کمترین آن در ارقام Simon و BC678 در تاریخ کاشت ۴ خرداد به میزان ۱۰۹/۱ روز در سناریوی RCP8.5 رخ داد (شکل ۲). به‌طور کلی نتایج شبیه‌سازی‌های مدل CERES-Maize نشان داد که در شرایط تغییر اقلیم با تغییر تاریخ کاشت طول دوره نمو روز از کاشت تا رسیدگی فیزیولوژیک نیز تغییر خواهد کرد، به طوری که طول این دوره نمو در هر سه رقم در تاریخ‌های کاشت زود هنگام (۲۶ فروردین و ۵ اردیبهشت) نسبت به شرایط مبنا افزایش خواهد یافت اما در تاریخ کاشت رایج (۱۵ اردیبهشت) و تاریخ‌های کاشت دیر هنگام (۲۵ اردیبهشت و ۴ خرداد) کاهش خواهد یافت. طبق شرایط سناریوی RCP4.5 بیشترین کاهش طول دوره نمو روز از کاشت تا رسیدگی فیزیولوژیک مربوط به ارقام Simon و BC678 در تاریخ کاشت ۴ خرداد به میزان ۷ درصد برای دوره تغییر اقلیم نزدیک و به میزان ۱۱ درصد برای دوره تغییر اقلیم دور پیش‌بینی شد. میزان کاهش طول دوره نمو روز از کاشت تا رسیدگی فیزیولوژیک برای ارقام Simon و BC678 در تاریخ کاشت ۴ خرداد بر اساس سناریوی RCP8.5 شدیدتر بود. همچنین در تاریخ کاشت رایج و دیر هنگام و سناریوهای مورد بررسی طول دوره نمو روز از کاشت تا رسیدگی فیزیولوژیک رقم SC704 کاهش کمتری در دوره‌های تغییر اقلیمی نشان داد (شکل ۲). به نظر می‌رسد دلیل اصلی



شکل ۲- تغییرات تعداد روز از کاشت تا رسیدگی فیزیولوژیک در تاریخ‌های مختلف کاشت برای شرایط تغییر اقلیم نسبت به دوره مبنا (ردیف اول)، نمودار چعبه‌ای تعداد روز از کاشت تا رسیدن فیزیولوژیک در تاریخ‌های مختلف کاشت (ردیف دوم و سوم). خط افقی وسط هر چعبه میانه (چارک دوم)، مستطیل‌های پایین و بالا به ترتیب چارک‌های اول و سوم، خطوط افقی پایین و بالا در خارج چعبه به ترتیب حداقل و حداکثر داده‌ها را نشان می‌دهند.

Figure 2- Changes in number of day from sowing to physiological maturity in different sowing dates for climate change conditions compared to baseline (first row), box plot for number of day from sowing to physiological maturity in different sowing dates (second and third rows). The horizontal line in the middle of each box is median (second quartile), the lower and upper rectangles indicate first and third quartiles, respectively, and the lower and upper horizontal lines outside each box represent minimum and maximum data, respectively.



شکل ۳- تغییرات وزن خشک کل در تاریخ‌های مختلف کاشت برای شرایط تغییر اقلیم نسبت به دوره مینا (ردیف اول)، نمودار چینه‌ای وزن خشک کل در تاریخ‌های مختلف کاشت (ردیف دوم و سوم).
 خط افقی وسط هر چینه میانه (چارک دوم)، مستطیل‌های پایین و بالا به ترتیب چارک‌های اول و سوم، خطوط افقی پایین و بالا در خارج هر چینه به ترتیب حداقل و حداکثر داده‌ها را نشان می‌دهند.
 Figure 3- Changes in total dry weight in different sowing dates for climate change conditions compared to baseline (first row), box plot for total dry weight in different sowing dates (second and third rows). The horizontal line in the middle of each box is median (second quartile), the lower and upper horizontal lines outside each box represent minimum and maximum data, respectively.

در آزمایش سرارکر و همکاران (Sarker *et al.*, 2016) در کشور غنا وزن خشک کل ذرت در سال ۲۰۳۰ طبق سناریوهای RCP8.5 با میانگین ۱۵۴۴/۵ کیلوگرم در هکتار نسبت به شرایط مینا ۵۹ درصد افزایش یافت. در مطالعه آن‌ها افزایش وزن خشک کل ذرت از ۱۶۹/۹ کیلوگرم در هکتار تحت سناریو RCP8.5 برای دوره زمانی ۲۰۸۰ تا ۲۳۸۶/۱ کیلوگرم در هکتار تحت سناریوهای RCP8.5 برای دوره زمانی ۲۰۳۰ متغیر بود. با این حال در پژوهش آموزو و همکاران (Amouzou *et al.*, 2019) در غرب آفریقا وزن خشک کل ذرت در افق زمانی ۲۰۸۰-۲۰۹۹ تحت سناریوهای RCP4.5 (۱۵-۱۳ درصد) و RCP8.5 (۲۹-۲۵ درصد) نسبت به شرایط مینا (۲۰۰۵-۱۹۸۶) کاهش یافت.

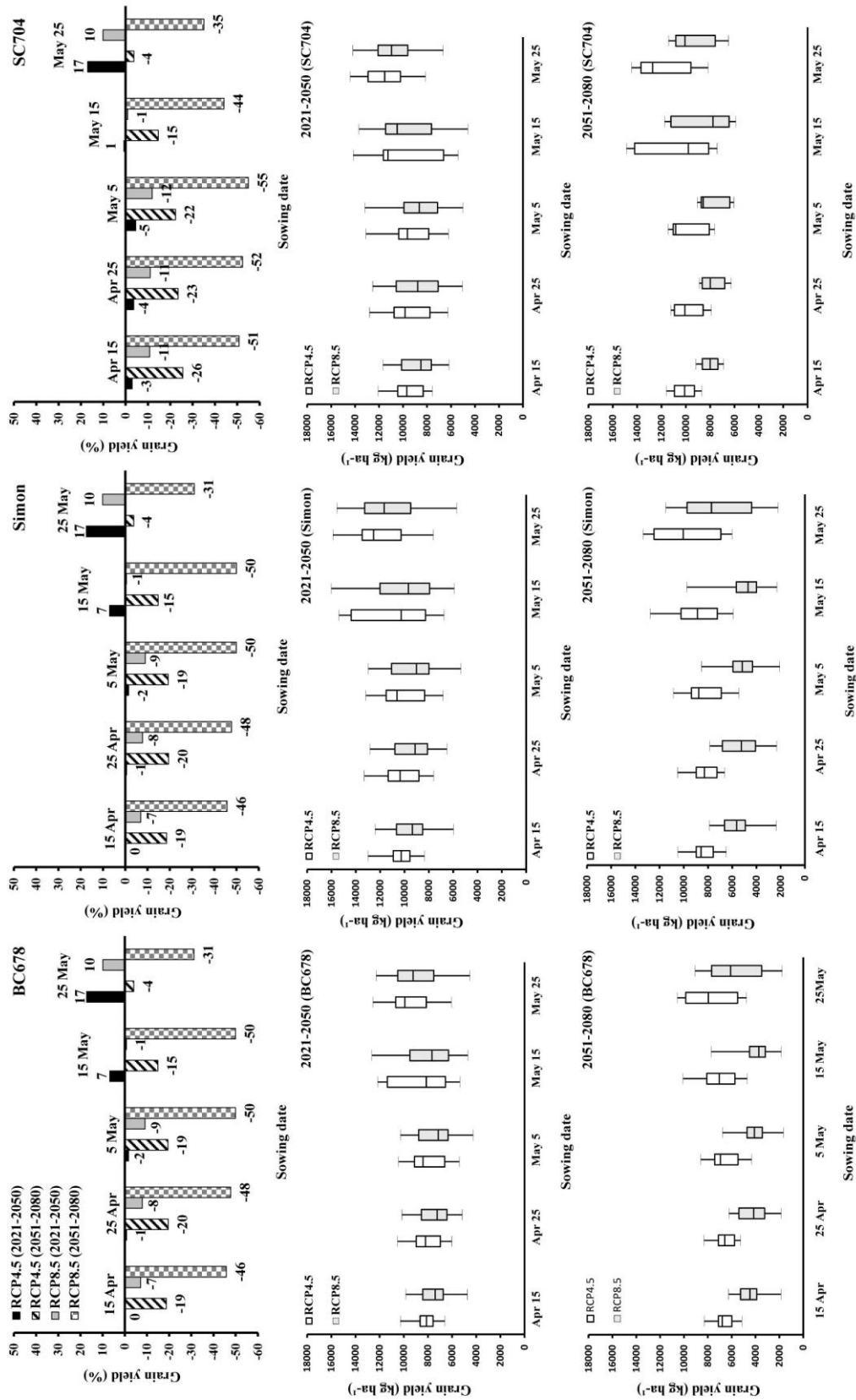
عملکرد دانه

عملکرد دانه ارقام SC704، Simon، و BC678 در سال‌های ۲۰۱۰-۱۹۸۱ (شرایط مینا) به ترتیب ۹۸۴۲، ۱۰۲۶۶ و ۸۱۴۱ کیلوگرم در هکتار بود (جدول ۲). نتایج شبیه‌سازی‌های مدل CERES-Maize نشان داد که در شرایط تغییر اقلیم دوره آینده نزدیک طبق سناریوهای RCP4.5 در تاریخ کاشت ۱۵ اردیبهشت عملکرد دانه ارقام SC704، Simon، و BC678 به ترتیب با ۱/۵۶، ۴/۵۶ و ۱/۷۱ درصد کاهش نسبت به شرایط مینا به ۹۳۹۳، ۱۰۱۰۶ و ۸۰۰۲ کیلوگرم در هکتار و طبق سناریوهای RCP8.5 به ترتیب با ۱۱/۹۵، ۹/۰۰ و ۹/۱۳ درصد کاهش به ۸۶۶۶، ۹۳۴۰ و ۷۳۹۷ کیلوگرم در هکتار خواهد رسید (شکل ۴). در شرایط تغییر اقلیم، تغییر تاریخ کاشت ذرت منجر به تغییر عملکرد دانه خواهد شد، به گونه‌ای که در دوره تغییر اقلیم نزدیک، بیشترین عملکرد دانه برای ارقام مورد بررسی در دیرترین تاریخ کاشت ۴ خرداد با ۱۷ درصد افزایش (به ترتیب ۱۱۵۱۸، ۱۲۰۶۰ و ۹۵۴۰ کیلوگرم در هکتار) در سناریوهای RCP4.5 و ۱۰ درصد افزایش در سناریوهای RCP8.5 (به ترتیب ۱۰۸۳۶، ۱۱۳۰۷ و ۸۹۴۷ کیلوگرم در هکتار) مشاهده شد. کمترین عملکرد دانه نیز در تاریخ کاشت ۵ اردیبهشت شبیه‌سازی شد (شکل ۴). در هر دو سناریو بیشترین عملکرد دانه در رقم Simon در تاریخ کاشت ۴ خرداد و کمترین میزان آن در رقم BC678 در تاریخ کاشت ۵ اردیبهشت پیش‌بینی شد.

در دوره آینده دور (۲۰۸۰-۲۰۵۱) نیز عملکرد دانه ذرت نسبت به شرایط مینا کاهش یافت. اما کاهش در دوره آینده دور نسبت به دوره آینده نزدیک بیشتر بود و همچنین درصد کاهش در سناریو RCP8.5 بیشتر از سناریو RCP4.5 بود، به طوری که عملکرد دانه ارقام SC704، Simon، و BC678 نسبت به شرایط مینا در سناریو RCP4.5 به ترتیب ۲۲/۳۱، ۱۹/۴۳ و ۱۹/۴۰ درصد و در سناریو RCP8.5 به ترتیب ۵۴/۹۹، ۴۹/۹۷ و ۴۹/۹۲ درصد کاهش خواهد یافت (شکل ۴).

طبق شرایط سناریوهای RCP4.5 و RCP8.5 در دوره آینده دور بیشترین وزن خشک کل با کاشت رقم SC704 در تاریخ ۴ خرداد مشاهده شد و کمترین وزن خشک کل با کاشت رقم BC678 در تاریخ ۵ اردیبهشت در سناریو RCP8.5 به‌دست خواهد آمد. به‌طور کلی نتایج شبیه‌سازی نشان داد وزن خشک کل ارقام ذرت نسبت به شرایط مینا کاهش می‌یابد. در هر دو سناریو و هر دو دوره اقلیمی، تأخیر در کاشت وزن خشک کل ذرت را افزایش خواهد داد، به طوری که بیشترین وزن خشک کل در هر دو سناریو در تاریخ کاشت ۴ خرداد و کمترین آن در تاریخ‌های کاشت ۵ اردیبهشت و ۲۵ اردیبهشت شبیه‌سازی شد. به عبارت دیگر کشت زودتر ذرت میزان وزن خشک کل این گیاه را کاهش می‌دهد و تأخیر در کاشت وزن خشک کل را افزایش می‌دهد. بیشترین وزن خشک در هر دو سناریو در رقم SC704 در تاریخ ۴ خرداد و کمترین وزن خشک کل در رقم BC678 در تاریخ‌های کاشت ۵ و ۲۵ اردیبهشت پیش‌بینی شد.

در آزمایشی دیگر میزان وزن خشک کل ذرت در کانزاس آمریکا طبق سناریوهای RCP4.5 و RCP8.5 به ترتیب ۱۳ و ۲۷ درصد کاهش یافت (Araya *et al.*, 2017). با کاهش طول دوره نمو فنولوژیک مدت زمان برای دریافت تابش خورشیدی و جذب دی‌اکسید کربن توسط محصول کاهش می‌یابد و در نتیجه باعث کاهش وزن خشک کل می‌شود. مطالعات رضایی و همکاران (Rezaei, Webber, Gaiser, Naab, & Ewert, 2015) نشان داد به دلیل افزایش دما سرعت رشد محصول افزایش می‌یابد که به نوبه خود منجر به کاهش طول دوره رشد و کاهش وزن خشک کل می‌شود. نتایج این بررسی نشان داد که اگرچه در شرایط تغییر اقلیم آینده در تاریخ کاشت رایج منطقه (۱۵ اردیبهشت) افزایش درجه حرارت ناشی از افزایش اثرات گازهای گلخانه‌ای منجر به افزایش سرعت نمو و در نتیجه کاهش طول دوره نمو و عملکرد وزن خشک کل ارقام ذرت در مقایسه با شرایط فعلی خواهد شد، اما در تاریخ کاشت‌های دیر هنگام در مقایسه با تاریخ کاشت رایج و زود هنگام وزن خشک کل افزایش یافت. به نظر می‌رسد علت این موضوع تغییرات رخ داده در درجه حرارت‌های حداقل و حداکثر روزانه باشد. زیرا با توجه به بررسی نتایج خروجی‌های مدل‌های گردش عمومی در شرایط تغییر اقلیم آینده منطقه مورد ارزیابی، درجه حرارت‌های حداکثر در طول دوره رشد ذرت در مقایسه با درجه حرارت‌های حداقل روزانه تغییرات چندانی نخواهند داشت (نتایج نشان داده نشده است). به نظر می‌رسد با توجه به این نکته که ذرت دارای گذرگاه فتوسنتزی ۴ کربنه بوده و این گذرگاه در دماهای بالاتر مطلوب‌تر از دماهای پایین‌تر عمل می‌کند، افزایش دماهای حداقل روزانه رشد منجر به بهبود کارایی فتوسنتزی گیاه و در نتیجه افزایش وزن خشک کل گیاه خواهد شد.



شکل ۴- تغییرات عملکرد دانه در تاریخ‌های مختلف کاشت برای شرایط تغییر اقلیم نسبت به دوره مینا (ردیف اول)، نمودار جعبه‌ای عملکرد دانه در تاریخ‌های مختلف کاشت (ردیف دوم و سوم). خط افقی وسط هر جعبه میانه (چارک دوم)، مستطیل‌های پایین و بالا به ترتیب چارک‌های اول و سوم، خطوط افقی پایین و بالا در خارج هر جعبه به ترتیب حداقل و حداکثر داده‌ها را نشان می‌دهند.

Figure 4- Changes in grain yield in different sowing dates for climate change conditions compared to baseline (first row), box plot for grain yield in different sowing dates (second and third rows). The horizontal line in the middle of each box is median (second quartile), the lower and upper rectangles indicate first and third quartiles, respectively, and the lower and upper horizontal lines outside each box represent minimum and maximum data, respectively.

کاهش می‌یابد. اسلما و همکاران (Islama et al., 2012) گزارش کردند که میزان عملکرد ذرت برای دهه ۲۰۵۰ در کلرادو آمریکا طبق سناریوهای RCP4.5 و RCP8.5 به ترتیب ۱۷ و ۲۱ درصد کاهش می‌یابد. به نظر می‌رسد افزایش عملکرد رقم Simon در دیرترین تاریخ کشت در سناریوهای تغییر اقلیم آینده ناشی از اثرات مفید دی‌اکسید کربن بر کارایی مصرف تشعشع، کارایی مصرف آب و کاهش تعرق سطح برگ باشد. افزایش عملکرد ذرت در سطوح بالای دی‌اکسید کربن توسط درینگ و همکاران (Deryng et al., 2016) گزارش شده است. ذرت در مقایسه با سایر غلات می‌تواند در دماهای بالا رشد کند، بنابراین محصول مناسبی برای شرایط گرم‌تر است اما نسبت به تنش آبی حساس است (Doorenbos & Kassam, 1979). عملکرد ذرت ممکن است با افزایش راندمان استفاده از تابش خورشیدی در غلظت‌های بالای دی‌اکسید کربن افزایش یابد و همچنین اثر مثبت دی‌اکسید کربن بالا روی عملکرد محصولات چهار کربنه به دلیل تحریک فتوسنتز توسط سربواستوا و همکاران (Srivastava et al., 2018) نیز گزارش شده است.

نتیجه‌گیری

به طور کلی نتایج این تحقیق نشان داد که در شرایط تغییر اقلیم در مقایسه با شرایط منا ویژگی‌های مورد بررسی ذرت کاهش یافت. کاهش طول دوره‌های نمویی، وزن خشک کل و عملکرد دانه در دوره تغییر اقلیم آینده دور شدیدتر از دوره آینده نزدیک و در سناریو RCP8.5 شدیدتر از سناریو RCP4.5 بود. در رابطه با اثر تاریخ کاشت، در هر دو دوره اقلیمی آینده و طبق هر دو سناریو با کاشت ارقام مورد بررسی در تاریخ‌های دیر هنگام (۲۵ اردیبهشت و ۴ خرداد) در مقایسه با تاریخ‌های زود هنگام (۲۶ فروردین و ۵ اردیبهشت) و رایج (۱۵ اردیبهشت) طول دوره مراحل نمویی کوتاه‌تر، وزن خشک کل و عملکرد دانه بیشتر بود. در بین ارقام مورد بررسی نیز در هر دو دوره اقلیمی آینده و هر دو سناریو، رقم Simon بیشترین عملکرد دانه را داشت. بیشترین طول دوره مراحل نمویی و وزن خشک کل نیز متعلق به رقم SC704 بود. در مجموع با توجه به نتایج به دست آمده، در صورت وقوع هر یک از سناریوهای RCP4.5 و RCP8.5 در تاریخ‌های دوره‌های آینده نزدیک و دور کاشت رقم Simon در تاریخ‌های دیر هنگام (۲۵ اردیبهشت و ۴ خرداد) که بیشترین عملکرد دانه را تولید خواهد کرد به‌عنوان راهکار مدیریتی مناسب برای مقابله با اثرات منفی تغییر اقلیم آینده بر تولید ذرت دانه‌ای پیشنهاد می‌گردد.

مشابه با دوره آینده نزدیک، در دوره آینده دور نیز تغییر در تاریخ کاشت منجر به تغییر عملکرد دانه ذرت شد، به طوری که بیشترین عملکرد دانه ارقام ذرت در هر دو سناریو در رقم Simon با دیرترین تاریخ کاشت (۴ خرداد) شبیه‌سازی شد و کمترین آن در رقم BC678 و تاریخ‌های کاشت ۵ اردیبهشت و ۲۵ اردیبهشت پیش‌بینی شد. اما همان‌گونه که نتایج مربوط به عملکرد دانه ذرت در دوره تغییر اقلیم دور نشان می‌دهد، اگرچه تغییر در تاریخ کاشت منجر به تغییر عملکرد دانه شد اما توانست منجر به جبران کاهش خسارت در مقایسه با شرایط منا شود. به‌طور کلی نتایج شبیه‌سازی نشان داد عملکرد دانه هر سه رقم، در دوره آینده نزدیک نسبت به شرایط منا در طول دوره رشد ذرت کاهش می‌یابد. نتایج همچنین نشان داد که در هر دو سناریو و هر دو دوره، تأخیر در کاشت میزان عملکرد دانه ذرت را افزایش و کاشت زودتر (۵ و ۲۵ اردیبهشت) میزان عملکرد دانه را کاهش خواهد داد. بیشترین میزان عملکرد دانه در هر دو سناریو در تاریخ کاشت ۴ خرداد و کمترین آن در تاریخ‌های ۵ و ۲۵ اردیبهشت شبیه‌سازی شد.

به‌عبارت دیگر کشت زودتر ذرت عملکرد این گیاه را کاهش می‌دهد و تأخیر در کاشت میزان عملکرد را افزایش می‌دهد. بیشترین و کمترین عملکرد به ترتیب در ارقام Simon و BC678 در تاریخ‌های کاشت ۴ خرداد و ۵ و ۲۵ اردیبهشت مشاهده شد (شکل ۴). تغییرات در عملکرد دانه می‌تواند بسته به میانگین دما در طول فصل رشد ذرت متفاوت باشد، به طوری که تحت شرایط تغییر اقلیم از طریق افزایش درجه حرارت و محدود شدن طول فصل رشد می‌تواند در مناطق گرم منجر به اثرات منفی و در مناطق خنک، افزایش درجه حرارت منجر به بهبود شرایط دمایی برای رشد گیاه زراعی شود (Meza et al., 2008). سربواستوا و همکاران (Srivastava, Mboh, Zhao, Gaiser, & Ewert, 2018) گزارش کردند افزایش عملکرد ذرت در غنا به علت افزایش دی‌اکسید کربن و عدم تغییر در بارندگی و افزایش تشعشع در طی فصل رشد بود.

تغییرات آب و هوایی میزان بهره‌وری تولید محصولات کشاورزی را در اکثر مناطق کاهش می‌دهد (Wheeler & Vonbraun, 2013). آمنهوفر و همکاران (Ummenhofer et al., 2015) گزارش کردند که عملکرد ذرت در غرب آمریکا طبق سناریوهای RCP4.5 و RCP8.5 حدود ۱۵ درصد کاهش می‌یابد، آرایا و همکاران (Araya et al., 2017) گزارش کردند که عملکرد ذرت در غرب آمریکا طبق سناریوهای RCP4.5 و RCP8.5 در دوره‌های ۲۰۳۹-۲۰۱۰ و ۲۰۶۹-۲۰۴۰، ۴ درصد افزایش و در دوره ۲۰۹۹-۲۰۷۰، ۶/۳ درصد

References

- Ainsworth, E. A., & Ort, D. R. (2010). How do we improve crop production in a warming world? *Plant Physiology*, 154(2), 526-530. <https://doi.org/10.1104/pp.110.161349>
- Alexandrov, V. A., & Hoogenboom, G. (2000). The impact of climate variability and change crop yield in Bulgaria. *Agricultural and Forest Meteorology*, 104(4), 315-327. [https://doi.org/10.1016/s0168-1923\(00\)00166-0](https://doi.org/10.1016/s0168-1923(00)00166-0)
- Amouzou, K. A., Lamers, J. P., Naab, J. B., Borgemeister, C., Vlek, P., & Land Becker, M. (2019). Climate change impact on water-and nitrogen-use efficiencies and yields of maize and sorghum in the northern Benin dry savanna, West Africa. *Field Crops Research*, 235, 104-117. <https://doi.org/10.1016/j.fcr.2019.02.021>
- Araya, A., Kisekka, I., Lin, X., Prasad, P. V., Gowda, P. H., Rice, C., & Andales, A. (2017). Evaluating the impact of future climate change on irrigated maize production in Kansas. *Climate Risk Management*, 17, 139-154. <https://doi.org/10.1016/j.crm.2017.08.001>
- Bowling, L. C. M., Widhalm, M., Cherkauer, K. A., Beckerman, J., Brouder, S., Buzan, J., Doering, O., Dukes, J., Ebner, P., & Frankenburger, J. (2018). Indiana's Agriculture in a Changing Climate: A Report from the Indiana Climate Change Impacts Assessment. *Agriculture Reports*. <https://doi.org/10.5703/1288284316778>
- Cairns, J. E., Crossa, J., Zaidi, P. H., Grudloyma, P., Sanchez, C., Araus, J. L., Thaitad, S., Makumbi, D., Magorokosho, C., Bänziger, M., & Menkir, A. (2013). Identification of drought, heat, and combined drought and heat tolerant donors in maize. *Crop Science*, 53(4), 1335-1346. <https://doi.org/10.2135/cropsci2012.09.0545>
- Crafts-Brander, S. J., & Salvucci, M. E. (2002). Sensitivity of photosynthesis in a C₄ plant, maize to heat stress. *Plant Physiology*, 129(4), 1773-1780. <https://doi.org/10.1104/pp.002170>
- Deryng, D., Elliott, J., Folberth, C., Müller, C., Pugh, T. A. M., & Boote, K. J. (2016). Regional disparities in the beneficial effects of rising CO₂ concentrations on crop water productivity. *Nature Climate Change*, 6(8), 786-790. <https://doi.org/10.1038/nclimate2995>
- Dias, M. P. N. M., Navaratne, C. M., Weerasinghe, K. D. N., & Hettiarachchi, R. H. A. N. (2016). Application of DSSAT crop simulation model to identify the changes of rice growth and yield in Nilwala river basin for mid-centuries under changing climatic conditions. *Procedia food science*, 6, 159-163. <https://doi.org/10.1016/j.profoo.2016.02.039>
- Doorenbos, J., & Kassam, A. H. (1979). *Yield Response to Water*. FAO. Irrigation and Drainage Paper No. 33. FAO, Rome, Italy.
- Hatfield, J. L., & Prueger, J. H. (2015). Temperature extremes: effect on plant growth and development. *Weather and Climate Extremes*, 10, 4-10. <https://doi.org/10.1016/j.wace.2015.08.001>
- Hay, R. K. M., & Walker, A. J. (1989). *An Introduction to the Physiology of Crop Yield*. Longman Scientific and Technical Press Inc., New York.
- Hoogenboom, G., Jones, J. W., Wilkens, P. W., Porter, C. H., Boote, K. J., Hunt, L. A., Singh, U., Lizaso, J. L., White, J. W., Uryasev, O., Ogoshi, R., Koo, J., Shelia, V., & Tsuji, G. Y. (2015). Decision Support System for Agrotechnology Transfer (DSSAT) Version 4.6 (www.DSSAT.net). DSSAT Foundation, Prosser, Washington.
- Islama, A., Ahuja, R. L., Garcias, L. A., Ma, L., Saseendran, A. S., & Trout, T. J. (2012). Modeling the impacts of climate change on irrigated maize production in the Central Great Plains. *Agricultural Water Management*, 110(C), 94-108. <https://doi.org/10.1016/j.agwat.2012.04.004>
- Khabba, S., Ledent, J. F., & Lahrouni, A. (2001). Maize ear temperature. *European Journal of Agronomy*, 14(3), 197-208. [https://doi.org/10.1016/S1161-0301\(00\)00095-2](https://doi.org/10.1016/S1161-0301(00)00095-2)
- Li, X., Takahashi, T., Suzuki, N., & Kaiser, H. M. (2011). The impact of climate change on maize yields in the United States and China. *Agricultural Systems*, 104, 348-353. <https://doi.org/10.1016/j.agsy.2010.12.006>
- Liu, Z., Hubbard, K. G., Lin, X., & Yang, X. (2013). Negative effects of climate warming on maize yield are reversed by the changing of sowing date and cultivar selection in Northeast China. *Global Change Biology*, 19(11), 3481-3492. <https://doi.org/10.1111/gcb.12324>
- Lobell, D. B., & Burke, M. B. (2010). On the use of statistical models to predict crop yield responses to climate change. *Agricultural and Forest Meteorology*, 150(11), 1443-1452. <https://doi.org/10.1016/j.agrformet.2010.07.008>
- MarkSim. (2018). <http://gismap.ciat.cgiar.org/MarkSimGCM>
- Meza, F. J., Silva, D., & Vigil, H. (2008). Climate change impacts on irrigated maize in Mediterranean climates: Evaluation of double cropping as an emerging adaptation alternative. *Agricultural Systems*, 98(1), 21-30. <https://doi.org/10.1016/j.agsy.2008.03.005>
- Mondani, F. (2018). Simulation of Nitrogen Fertilizer Effect on Maize (*Zea mays*) Production by CERES-Maize Model under Kermanshah Climate Condition. *Water and Soil*, 31(6), 1665-1678. <https://doi.org/10.22067/jsw.v31i6.61895>. (in Persian with English abstract).
- Mondani, F., Karami, P., & Ghobadi, R. (2021). Simulation of moisture regimes effect on maize (*Zea mays*) growth and yield in Kermanshah region by CERES-Maize model. *Crop Science Research in Arid Regions*, 3(1), 39-56. <https://doi.org/10.22034/csrar.2021.280069.1091>. (in Persian with English abstract).
- Moradi, R., Koocheki, A., & Nassiri Mahallati, M. (2014). Effect of Climate Change on Maize Production and

- Shifting of Planting Date as Adaptation Strategy in Mashhad. *Journal of Agricultural Science and Sustainable Production*, 23(4), 111-130. (in Persian with English abstract).
24. Muchow, R. C., Sinclair, T. R., & Bennett, J. M. (1990). Temperature and solar radiation effects on potential maize yield across locations. *Agronomy Journal*, 82(2), 338-343. <https://doi.org/10.2134/agronj1990.00021962008200020033x>
 25. Ozkan, B., & Akcaoz, H. (2002). Impacts of climate factors on yields for selected crops in southern Turkey. *Mitigation and Adaptation Strategies for Global Change*, 7, 367-380. <https://doi.org/10.1023/A:1024792318063>
 26. Rahimi-Moghaddam, S., Kambouzia, J., & Deihimfard, R. (2018). Adaptation strategies to lessen negative impact of climate change on grain maize under hot climatic conditions: A model-based assessment. *Agricultural and Forest Meteorology*, 253, 1-14. <https://doi.org/10.1016/j.agrformet.2018.01.032>
 27. RCP. (2014). https://en.wikipedia.org/wiki/Representative_Concentration_Pathway
 28. Rezaei, E. E., Webber, H., Gaiser, T., Naab, J., & Ewert, F. (2015). Heat stress in cereals: mechanisms and modelling. *European Journal of Agronomy*, 64, 98-113. <https://doi.org/10.1016/j.eja.2014.10.003>
 29. Rosenzweig, C., & Tubiello, F. N. (2007). Adaptation and mitigation strategies in agriculture: an analysis of potential synergies. *Mitigation and Adaptation Strategies for Global Change*, 12, 855-873. <https://doi.org/10.1007/s11027-007-9103-8>
 30. Rowhani, P., Lobell, D. B., Linderman, M., & Ramankutty, N. (2011). Climate variability and crop production in Tanzania. *Agricultural and Forest Meteorology*, 151(4), 449-460. <https://doi.org/10.1016/j.agrformet.2010.12.002>
 31. Sarker, K. K., Akanda, M. A., Biswas, S. H., Roy, D. K., Khatun, A., & Goftar, M. A. (2016). Field performance of alternate wetting and drying furrow irrigation on tomato crop growth, yield, water use efficiency, quality and profitability. *Journal of Integrative Agriculture*, 15(10), 2380-2392. [https://doi.org/10.1016/S2095-3119\(16\)61370-9](https://doi.org/10.1016/S2095-3119(16)61370-9)
 32. Schoper, J. B., Lambert, R. J., & Vasilas, B. L. (1987). Pollen viability, pollen shedding and combining ability for tassel heat tolerance in maize. *Crop Science*, 27(1), 27-31. <https://doi.org/10.2135/cropsci1987.0011183X002700010007x>
 33. Shiri, M. (2018). The mitigation of climate change effect on maize grain yield by changing of planting date in Moghan. *Cereal Research*, 7(4), 563-578. <https://doi.org/10.22124/c.2018.5574.1216>. (in Persian with English abstract).
 34. Smit, B., & Skinner, M. W. (2002). Adaptation options in agriculture to climate change: a typology. *Mitig Adapt Strat Glob Change*, 7(1), 85-114. <https://doi.org/10.1023/A:1015862228270>
 35. Southworth, J., Randolph, J. C., Habeck, M., Doering, O. C., Pfeifer, R. A. Rao, D. G., & Johnston, J. J. (2000). Consequences of future climate change and changing climate variability on maize yields in the midwestern United States. *Agriculture, Ecosystems and Environment*, 82, 139-158. [https://doi.org/10.1016/S0167-8809\(00\)00223-1](https://doi.org/10.1016/S0167-8809(00)00223-1)
 36. Srivastava, A. K., Mboh, C. M., Zhao, G., Gaiser, T., & Ewert, F. (2018). Climate change impact under alternate realizations of climate scenarios on maize yield and biomass in Ghana. *Agricultural Systems*, 159, 157-174. <https://doi.org/10.1016/j.agsy.2017.03.011>
 37. Teixeira, E. I., Fischer, G., Velthuisen, H., Walter, C., & Ewert, F. (2013). Global hot-spots of heat stress on agricultural crops due to climate change. *Agricultural and Forest Meteorology*, 170, 206-215. <https://doi.org/10.1016/j.agrformet.2011.09.002>
 38. Tingem, M., & Rivington, M. (2009). Adaptation for crop agriculture to climate change in Cameroon: Turning on the heat. *Mitigation and Adaptation Strategies for Global Change*, 14, 153-168. <https://doi.org/10.1007/s11027-008-9156-3>
 39. Trnka, M., Dubrovsky, M., & Ekzalud, Z. (2004). Climate change impacts and adaptation strategies in spring barley production in the Czech Republic. *Climatic Change*, 64, 227-255. <https://doi.org/10.1023/B:CLIM.0000024675.39030.96>
 40. Tubiello, F. N., Jagtap, S., Rosenzweig, C., Goldberg, R., & Jones, J. W. (2002). Effects of climate change on US crop production from the National Assessment. Simulation results using two different GCM scenarios. Part I: Wheat, Potato, Corn, and Citrus. *Climate research*, 20(3), 259-270. <https://doi.org/10.3354/cr020259>
 41. Tubiello, F. N., Soussana, J. F. O., & Howden, S. M. (2007). Crop and pasture response to climate change. *Proceedings of the National Academy of Sciences of the United States of America*, 104(50), 19686-19690. <https://doi.org/10.1073/pnas.0701728104>
 42. Ummenhofer, C., Xu, H., Twine, T., Girvetz, E., McCarthy, H., Chhetri, N., & Nicholas, K. (2015). How climate change affects extremes in maize and wheat yield in two cropping regions. *Journal of Climate*, 28(12), 4653-4687. <https://doi.org/10.1175/JCLI-D-13-00326.1>
 43. Wang, Z. R., Rui, Y. K., Shen, J. B., & Zhang, F. S. (2008). Effects of N fertilizer on root growth in *Zea mays* L. seedlings. *Spanish Journal of Agricultural Research*, 6(4), 677-682. <https://doi.org/10.5424/sjar/2008064-360>
 44. Wheeler, T., & Vonbraun, J. (2013). Climate change impacts on global food security. *Science*, 341(6145), 508-513. <https://doi.org/10.1126/science.1239402>
 45. Zheng, B., Chenu, K., Dreccer, M. F., & Chapman, S. C. (2012). Breeding for the future: what are the potential

impacts of future frost and heat events on sowing and flowering time requirements for Australian bread wheat (*Triticum aestivium*) varieties? *Global Change Biology*, 18(9), 2899-2914. <https://doi.org/10.1111/j.1365-2486.2012.02724.x>